

Addition von Aldehyden an aktivierte Doppelbindungen, XXII¹⁾

Addition von aliphatischen Aldehyden an α,β -ungesättigte Carbonsäureester und Nitrile

Hermann Stetter*, Wolfram Basse und Jürgen Nienhaus

Institut für Organische Chemie der Technischen Hochschule Aachen,
Professor-Pirlet-Str. 1, D-5100 Aachen

Eingegangen am 14. Mai 1979

Aliphatische Aldehyde addieren thiazoliumsalz-katalysiert an α,β -ungesättigte Carbonsäureester und Nitrile unter Bildung von γ -Ketocarbonsäureestern (**1**–**24**) und γ -Ketosäurenitrilen (**25**–**32**).

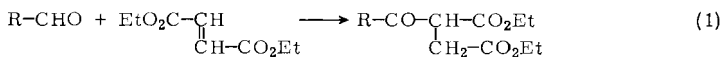
Addition of Aldehydes to Activated Double Bonds, XXII¹⁾

Addition of Aliphatic Aldehydes to α,β -Unsaturated Esters and Nitriles

Thiazolium salt catalysed addition of aliphatic aldehydes to α,β -unsaturated esters and nitriles leads to γ -ketocarboxylic esters (**1**–**24**) and γ -ketonitriles (**25**–**32**).

Die vorliegende Arbeit befaßt sich mit der thiazoliumsalz-katalysierten Addition von aliphatischen Aldehyden an Fumarsäure-diethylester, α -Methylen- γ -butyrolactone sowie an Acrylsäure-ethylester und Acrylonitril.

Unter der Katalyse von 3-Benzyl-5-(2-hydroxyethyl)-4-methyl-1,3-thiazolium-chlorid²⁾ konnten aliphatische Aldehyde bisher nur in geringen Ausbeuten an Acrylsäure-ethylester und Acrylonitril addiert werden³⁾. Die Verwendung dieses Katalysators führte jedoch zu unserer Überraschung bei der Addition von aliphatischen Aldehyden an Fumarsäure-diethylester in guten Ausbeuten zu den Additionsprodukten **1**–**11**.

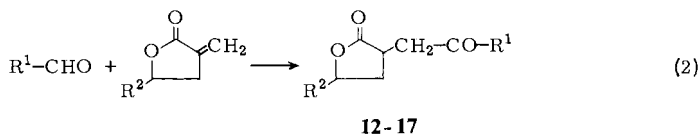


1–11

	R	Ausb. (%)		R	Ausb. (%)
1	C ₂ H ₅	62	7	n-C ₈ H ₁₇	49
2	n-C ₃ H ₇	62	8	n-C ₉ H ₁₉	46
3	n-C ₄ H ₉	68	9	n-C ₁₀ H ₂₁	49
4	n-C ₅ H ₁₁	69	10	i-C ₃ H ₇	27
5	n-C ₆ H ₁₃	73	11	i-C ₄ H ₉	47
6	n-C ₇ H ₁₅	63			

Diese Produkte lassen sich auch in vergleichbaren Ausbeuten durch radikalische Addition von Aldehyden an Maleinsäure-diethylester erhalten⁴⁾, während die thiazoliumsalz-katalysierte Addition in diesem Fall keine befriedigenden Ergebnisse zeigt.

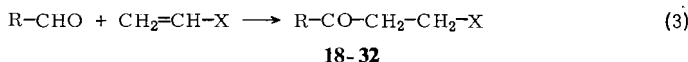
Unter Verwendung des 3-Benzyl-5-(2-hydroxyethyl)-4-methyl-1,3-thiazoliumchlorids gelang ebenso die Addition aliphatischer Aldehyde an α -Methylen- γ -butyrolacton und α -Methylen- γ -valerolacton zu **12 – 17**.



	R ¹	R ²	Ausb. (%)		R ¹	R ²	Ausb. (%)	
12	CH ₃	H	56		15	CH ₃	CH ₃	58
13	C ₂ H ₅	H	54		16	C ₂ H ₅	CH ₃	56
14	n-C ₃ H ₇	H	50		17	n-C ₃ H ₇	CH ₃	57

Der Syntheseweg des α -Methylen- γ -butyrolactons⁵⁾ konnte auch bei der Darstellung des α -Methylen- γ -valerolactons mit Erfolg beschritten werden.

Mit 3-(2-Ethoxyethyl)-5-(2-hydroxyethyl)-4-methyl-1,3-thiazoliumbromid wurde ein Thiazoliumsalz gefunden, das im Gegensatz zu 3-Benzyl-5-(2-hydroxyethyl)-4-methyl-1,3-thiazoliumchlorid die Addition von aliphatischen Aldehyden auch an Acrylsäure-ethylester und Acrylonitril in befriedigenden Ausbeuten ermöglicht. Die Darstellung erfolgte in Anlehnung an die des 3-Benzyl-5-(2-hydroxyethyl)-4-methyl-1,3-thiazoliumchlorids²⁾ durch Quartärisierung des käuflichen 5-(2-Hydroxyethyl)-4-methyl-1,3-thiazols⁶⁾ mit 2-Ethoxyethylbromid. Entsprechend dem Formelschema (3) erhält man γ -Ketocarbonsäureester und γ -Ketonitrile.



	R	X	Ausb. (%)		R	X	Ausb. (%)
18	n-C ₃ H ₇	CO ₂ Et	49	25	n-C ₃ H ₇	CN	52
19	n-C ₄ H ₉	CO ₂ Et	53	26	n-C ₄ H ₉	CN	55
20	n-C ₅ H ₁₁	CO ₂ Et	52	27	n-C ₅ H ₁₁	CN	60
21	n-C ₆ H ₁₃	CO ₂ Et	54	28	n-C ₆ H ₁₃	CN	61
22	n-C ₇ H ₁₅	CO ₂ Et	59	29	n-C ₇ H ₁₅	CN	50
23	n-C ₈ H ₁₇	CO ₂ Et	56	30	n-C ₈ H ₁₇	CN	64
24	n-C ₉ H ₁₉	CO ₂ Et	51	31	n-C ₉ H ₁₉	CN	57
				32	i-C ₄ H ₉	CN	51

Die Verwendung von 3-(2-Ethoxyethyl)-5-(2-hydroxyethyl)-4-methyl-1,3-thiazoliumbromid ergab bei der Addition von aliphatischen Aldehyden an Fumarsäure-diethylester keine Verbesserungen.

Die Addition von aliphatischen Aldehyden an substituierte α,β -ungesättigte Carbonsäureester, wie Crotonsäure-ethylester und Methacrylsäure-ethylester, unter der Kata-

lyse von 3-(2-Ethoxyethyl)-5-(2-hydroxyethyl)-4-methyl-1,3-thiazoliumbromid verließ dagegen ebenso negativ wie bei der Verwendung von 3-Benzyl-5-(2-hydroxyethyl)-4-methyl-1,3-thiazoliumchlorid.

Wir danken dem *Verband der Chemischen Industrie – Fonds der Chemischen Industrie* – für die zur Verfügung gestellten Sachmittel.

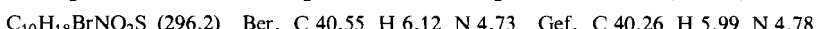
Experimenteller Teil

Das verwendete Dioxan wurde mit Eisen(II)-sulfat und Kaliumhydroxidpulver 12 h gerührt; dann wurde filtriert und das Filtrat destilliert. Das Ethanol mit 99.5 – 99.9 proz. Reinheit wurde ohne weitere Reinigung eingesetzt.

IR-Spektren: Leitz-Gitterspektrograph III G. – ^1H -NMR-Spektren: Varian T 60 mit TMS als innerem Standard. – Die Siedepunkt- und Druckangaben sind unkorrigiert.

Für die Reaktionen mit Fumarsäure-diethylester, α -Methylen- γ -butyrolacton und α -Methylen- γ -valerolacton wurde 3-Benzyl-5-(2-hydroxyethyl)-4-methyl-1,3-thiazoliumchlorid²⁾ (= Kat. 1), für die Reaktionen mit Acrylsäure-ethylester und Acrylonitril 3-(2-Ethoxyethyl)-5-(2-hydroxyethyl)-4-methyl-1,3-thiazoliumbromid (= Kat. 2) verwendet.

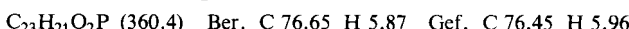
3-(2-Ethoxyethyl)-5-(2-hydroxyethyl)-4-methyl-1,3-thiazoliumbromid: Die Lösung von 143.2 g (1.0 mol) 5-(2-Hydroxyethyl)-4-methylthiazol⁶⁾ und 153 g (1.0 mol) 2-Ethoxyethylbromid in 500 ml Acetonitril wird 24 h unter Rückfluß erhitzt. Nach dem Abkühlen wird das Lösungsmittel im Rotavapor abgezogen. Der ölige Rückstand wird mit 100 ml trockenem Dioxan versetzt und die Mischung 20 min im Rotavapor bei 90 °C gerührt. Dann wird das Dioxan, in dem das Ausgangsmaterial gelöst ist, dekantiert. Dieser Vorgang wird dreimal wiederholt. Anschließend wird restliches Dioxan im Rotavapor abgezogen. Das ölige Produkt wird so in die Reaktion eingesetzt. Ausb. 223.4 g (75%). – ^1H -NMR (D_6DMSO): $\delta = 1.1$ (t, 3H, CH_3); 2.53 (s, 3H, CH_3); 3.06 (t, 2H, CH_2); 3.32 – 4.0 (m, 6H, CH_2); 4.75 (t, 2H, NCH_2); 5.45 (s, 1H, OH); 9.66 (s, 1H, CH).



α -Methylen- γ -butyrolacton: α -Brombutyrolacton wird mit Triphenylphosphan zu (2-Oxotetrahydrofuran-3-yl)triphenylphosphoniumbromid⁷⁾ umgesetzt, aus dem durch Reaktion mit verd. Natronlauge (2-Oxotetrahydrofuran-3-yliden)triphenylphosphoran⁸⁾ darstellbar ist, das bei anschließender Reaktion mit 38 proz. Formalinlösung α -Methylen- γ -butyrolacton liefert.

α -Methylen- γ -valerolacton: Darstellung von (5-Methyl-2-oxotetrahydrofuran-3-yl)triphenylphosphoniumbromid und (5-Methyl-2-oxotetrahydrofuran-3-yliden)triphenylphosphoran: Die Lösung von 89.5 g (0.50 mol) α -Brom- γ -valerolacton und 131 g (0.50 mol) Triphenylphosphan in 200 ml THF wird 6 h unter Rühren und Rückfluß erhitzt. Nach dem Abkühlen wird das Phosphoniumbromid abgesaugt und aus Methanol/Essigsäure-ethylester umkristallisiert. Ausb. 110 g (50%), Schmp. 205 °C.

Zu einer gerührten Suspension von 44 g (0.10 mol) des Phosphoniumbromids in 100 ml Wasser werden 50 ml 10 proz. Natriumhydroxidlösung getropft. Nach einstündigem Nachröhren wird die Reaktionsmischung mit Chloroform extrahiert, die organische Phase über Magnesiumsulfat getrocknet und eingeengt. Der feste Rückstand wird aus Dimethylformamid umkristallisiert. Ausb. 25 g (69%), Schmp. 215 °C. – IR (KBr): 1650 cm^{-1} (C=O). – ^1H -NMR (CDCl_3): $\delta = 1.35$ (d, 3H, CH_3); 2.18 – 2.81 (m, 2H, CH_2); 4.6 (sex, 1H, CH); 7.3 – 7.8 (m, 15 aromat. H).



Zur gerührten Mischung von 36 g (0.1 mol) des Phosphorans und 100 ml Aceton werden unter Eiskühlung 25 ml einer 38 proz. Formalinlösung getropft. Die Lösung wird 20 h bei Raumtemp. nachgerührt, danach über Magnesiumsulfat getrocknet und eingeengt. Der Rückstand wird destil-

Aldehyd mmol	ungesätt. Carbonyl- verb. ^{a)} mmol	Dar- stellung Auaar- beitung	Kataly- sator mmol	Base mmol	Name der Verbindung	Ausb. (%)	
Propanal 200	FSE	1	1	60	1	2-Propionylbutan- disäure-diethylester	
n-Butanal 200	FSE	a	10	60	2	2-Butyrylbutan- disäure-diethylester	
n-Pentanal 200	FSE	a	10	60	3	2-Pentanoylbutan- disäure-diethylester	
n-Hexanal 200	FSE	100	a	10	60	4	2-Hexanoylbutan- disäure-diethylester
n-Heptanal 200	FSE	100	a	10	60	5	2-Heptanoylbutan- disäure-diethylester
n-Octanal 200	FSE	100	b	10	60	6	2-Octanoylbutan- disäure-diethylester
n-Nonanal 200	FSE	100	b	10	60	7	2-Nonanoylbutan- disäure-diethylester
n-Decanal 200	FSE	100	b	10	60	8	2-Decanoylbutan- disäure-diethylester
n-Undecanal 200	FSE	100	b	10	60	9	2-Undecanoylbutan- disäure-diethylester
2-Methyl- propanal 200	FSE	100	a	10	60	10	2-Isobutyrylbutan- disäure-diethylester
3-Methyl- butanal 200	FSE	100	a	10	60	11	2-(3-Methylbutyryl)butan- disäure-diethylester
Acetaldehyd 300	MB	2	1	60	12	Dihydro-3-(2-oxopropyl)- <i>2(3H)</i> -furanon	
Propanal 150	MB	2	1	30	130	Dihydro-3-(2-oxobutyl)- <i>2(3H)</i> -furanon	
Butanal 100	MB	2	1	15	90	Dihydro-3-(2-oxopentyl)- <i>2(3H)</i> -furanon	
Acetaldehyd 300	MV	2	1	10	60	Dihydro-5-methyl-3- (2-oxopropyl)- <i>2(3H)</i> -furanon	
Propanal 150	MV	2	1	30	180	Dihydro-5-methyl-3- (2-oxobutyl)- <i>2(3H)</i> -furanon	
Butanal 100	MV	2	1	15	90	Dihydro-5-methyl-3- (2-oxopentyl)- <i>2(3H)</i> -furanon	
Butanal 500	AE	3	2	10	60	4-Oxohexansäure-ethylester	

Tab. 1 (Fortsetzung)

Aldehyd mmol	ungesätt. (Carbonyl- verb. ^{a)} mmol	Dar- stellung Aufar- beitung	Kataly- sator mmol	Base mmol	Name der Verbindung	Ausb. (%)
Pentanal						
300	AE 600	3 a	2 30	180	19	53
Hexanal	AE 300	3 a	2 30	180	20	4-Oxononansäure-ethylester
Heptanal	AE 500	3 a	2 50	300	21	4-Oxodecansäure-ethylester
Octanal	AE 200	3 a	2 20	120	22	4-Oxoundecansäure-ethylester
Nonanal	AE 100	3 a	2 10	60	23	4-Oxododecansäure-ethylester
Decanal	AE 100	3 a	2 10	60	24	4-Oxotridecansäure-ethylester
Butanal	AN 200	3 a	2 20	120	25	4-Oxohexannitril
Pentanal	AN 200	3 a	2 20	120	26	4-Oxoocantanitril
Hexanal	AN 200	3 a	2 20	120	27	4-Oxononannitril
Heptanal-	AN 500	3 a	2 50	300	28	4-Oxodecanannitril
Octanal	AN 200	3 a	2 20	120	29	4-Oxoundecannitril
Nonanal	AN 100	3 a	2 10	60	30	4-Oxododecannitril
Decanal	AN 100	3 a	2 10	60	31	4-Oxotridecannitril
3-Methyl- butanal	AN 200	a, c 400	2 20	120	32	6-Methyl-4-oxoheptannitril
						51

a) FSE = Fumarsäure-diethylester; MB = α -Methylen- γ -butyrolacton; MV = α -Methylen- γ -valerolacton; AE = Acrylsäure-ethylester; AN = Acrylonitril.

b) Die Abtrennung der Additionsprodukte von den entstandenen Acyloinen konnte hier destillativ nicht erreicht werden. Die Ausbeuten wurden aus dem $^1\text{H-NMR}/\text{GC}$ ermittelt.

Tab. 2. Spektroskopische Daten und Verbrennungsanalysen von 1-32

	Summenformel (Molmasse)	Analyse C H	IR (C=O) cm ⁻¹	¹ H-NMR (Auszug) (Solvans) δ -Werte	Sdp. (°C/Torr) Schmp. (°C) (Lit.)	
1	C ₁₁ H ₁₈ O ₅ (230.3)	Ber. Gef.	57.38 57.21	7.88 7.59	(kap.) 1730, 1712	(CDCl ₃) 4.0 (t, 1H, CH), 2.88 (AB, 2H, CH ₂), 2.73 (q, 2H, CH ₂)
2	C ₁₂ H ₂₀ O ₅ (244.3)	Ber. Gef.	59.00 59.22	8.25 8.33	(kap.) 1730, 1718	(CDCl ₃) 3.98 (t, 1H, CH), 2.88 (AB, 2H, CH ₂), 2.7 (t, 2H, CH ₂)
3	C ₁₃ H ₂₂ O ₅ (258.3)	Ber. Gef.	60.44 60.72	8.59 8.55	(kap.) 1727, 1715	(CDCl ₃) 3.98 (t, 1H, CH), 2.88 (AB, 2H, CH ₂), 2.7 (t, 2H, CH ₂)
4	C ₁₄ H ₂₄ O ₅ (272.3)	Ber. Gef.	61.73 61.86	8.89 8.76	(kap.) 1728, 1715	(CDCl ₃) 3.98 (t, 1H, CH), 2.88 (AB, 2H, CH ₂), 2.7 (t, 2H, CH ₂)
5	C ₁₅ H ₂₆ O ₅ (286.4)	Ber. Gef.	62.91 63.18	9.15 9.38	(kap.) 1721, 1709	(CDCl ₃) 3.98 (t, 1H, CH), 2.88 (AB, 2H, CH ₂), 2.7 (t, 2H, CH ₂)
6	C ₁₆ H ₂₈ O ₅ (300.4)	Ber. Gef.	64.05 64.28	9.41 9.54	(kap.) 1724, 1712	(CDCl ₃) 3.98 (t, 1H, CH), 2.88 (AB, 2H, CH ₂), 2.7 (t, 2H, CH ₂)
7	C ₁₇ H ₃₀ O ₅ (314.4)	Ber. Gef.	64.94 65.01	9.62 9.81	(kap.) 1726, 1710	(CDCl ₃) 3.98 (t, 1H, CH), 2.88 (AB, 2H, CH ₂), 2.7 (t, 2H, CH ₂)
8	C ₁₈ H ₃₂ O ₅ (328.4)	Ber. Gef.	65.82 65.71	9.82 9.75	(kap.) 1724, 1712	(CDCl ₃) 3.98 (t, 1H, CH), 2.88 (AB, 2H, CH ₂), 2.7 (t, 2H, CH ₂)
9	C ₁₉ H ₃₄ O ₅ (342.5)	Ber. Gef.	66.63 66.90	10.01 10.04	(kap.) 1724, 1712	(CDCl ₃) 3.98 (t, 1H, CH), 2.88 (AB, 2H, CH ₂), 2.7 (t, 2H, CH ₂)
10	C ₁₂ H ₂₀ O ₅ (244.3)	Ber. Gef.	59.00 59.12	8.25 8.42	(kap.) 1727, 1712	(CDCl ₃) 4.13 (t, 1H, CH), 3.2-2.7 (m, 1H, CH), (AB, 2H, CH ₂) 2.83
11	C ₁₃ H ₂₂ O ₅ (258.3)	Ber. Gef.	60.44 60.25	8.59 8.66	(kap.) 1727, 1712	(CDCl ₃) 3.98 (t, 1H, CH)

Tab. 2 (Fortsetzung)

	Summenformel (Molmasse)	Analyse	IR (C=O) (Solvents) cm ⁻¹	¹ H-NMR (Auszug) (Solvents) δ-Werte	Sdp. (°C/Torr) Schmp. (°C)	
12	C ₇ H ₁₀ O ₃ (142.2)	Ber. Gef.	59.15 59.09	7.09 6.96	(kap.) 1770, 1700	(CCl ₄) 1.7–3.1 (m, CH ₃ , CH ₂), 2.2 (s, CH ₃), 4.0–4.4 (m, CH ₂)
13	C ₈ H ₁₂ O ₃ (156.2)	Ber. Gef.	61.52 61.63	7.75 7.79	(kap.) 1770, 1700	(CCl ₄) 1.03 (t, CH ₃), 1.2–3.2 (m, 3 CH ₂ , CH), 3.9–4.4 (m, CH ₂)
14	C ₉ H ₁₄ O ₃ (170.2)	Ber. Gef.	63.51 63.26	8.29 8.29	(kap.) 1770, 1700	(CCl ₄) 0.8–1.2 (m, CH ₃), 1.2–2.0 (m, CH, CH ₂), 2.0–3.2 (m, 3 CH ₂), 4.0–4.4 (m, CH ₂)
15	C ₈ H ₁₂ O ₃ (156.2)	Ber. Gef.	61.52 61.56	7.75 7.92	(kap.) 1760, 1700	(CDCl ₃) 1.36 (d, CH ₃), 2.13 (CH ₃), 2.0–3.28 (m, CH, 2 CH ₂), 4.53 (sex, CH)
16	C ₉ H ₁₄ O ₃ (170.2)	Ber. Gef.	63.51 63.69	8.29 8.44	(kap.) 1760, 1700	(CDCl ₃) 1.03 (t, CH ₃), 1.4 (d, CH ₃), 2.0–3.3 (m, CH, 3 CH ₂), 4.3–4.8 (m, CH)
17	C ₁₀ H ₁₆ O ₃ (184.2)	Ber. Gef.	65.19 65.19	8.75 8.70	(kap.) 1765, 1700	(CCl ₄) 0.7–1.1 (m, 3H, CH ₃), 1.2–3.1 (m, CH, CH ₂ , CH ₃), 4.46 (sex, CH)
18	C ₉ H ₁₆ O ₃ (172.2)	Ber. Gef.	62.77 62.65	9.37 9.30	(kap.) 1730, 1700	(CDCl ₃) 0.9 (t, CH ₃), 1.2–1.93 (m, CH ₂), 1.25 (t, CH ₃), 2.22–3.0 (m, 3 CH ₂), 4.13 (q, CH ₂)
19	C ₁₀ H ₁₈ O ₃ (186.3)	Ber. Gef.	64.49 64.63	9.74 9.39	(kap.) 1740, 1700	(CDCl ₃) 0.7–1.8 (m, 2 CH ₂), 0.9 (t, CH ₃), 1.25 (t, CH ₃), 2.28–2.8 (m, 3 CH ₂), 4.1 (q, CH ₂)
20				(kap.) 1730, 1700	(CDCl ₃) 0.7–1.8 (m, 3 CH ₂ , CH ₃), 1.26 (t, CH ₃), 2.2–2.8 (m, 3 CH ₂), 4.1 (q, CH ₂)	
21	C ₁₂ H ₂₂ O ₃ (214.3)	Ber. Gef.	67.25 67.20	10.35 10.42	(kap.) 1730, 1700	(CDCl ₃) 0.7–1.8 (m, 4 CH ₂ , CH ₃), 1.28 (t, CH ₃), 2.3–2.9 (m, 3 CH ₂), 4.13 (q, CH ₂)

(134–136/4¹⁵)(80–92/2¹⁴)

(80–85/0.1)

(113/9)

(78–80/2¹⁴)

(110/12)

(83/3¹³)

(110/0.2)

Tab. 2 (Fortsetzung)

Summenformel (Molmasse)	Analyse	IR (C = O) cm ⁻¹	IR (C = O) (Solvens) cm ⁻¹	¹ H-NMR (Auszug) (Solvens) δ-Werte		Sdp. (°C/Torr) Schmp. (°C) (LiI)
				C	H	
C ₁₃ H ₂₄ O ₃ (228,3)	Ber. Gef.	68.38 68.15	10.59 10.75	(kap.) 1726, 1700	(CDCl ₃) 0.67 – 1.8 (m, CH ₂ , CH ₃), 2.2 – 2.8 (m, 3 CH ₂), 4.1 (q, CH ₂)	99/0.3 (109 – 111/2 ¹⁴)
C ₁₄ H ₂₆ O ₃ (242,4)	Ber. Gef.	69.38 69.42	10.81 10.70	(kap.) 1740, 1700	(CDCl ₃) 0.7 – 1.8 (m, CH ₂ , CH ₃), 2.23 – 2.8 (m, 3 CH ₂), 4.1 (q, CH ₂)	117/0.3 (145 – 146/4 ¹⁵)
C ₁₅ H ₂₈ O ₃ (256,4)	Ber. Gef.	70.27 70.00	11.01 10.93	(kap.) 1740, 1700	(CDCl ₃) 0.7 – 1.7 (m, CH ₂ , CH ₃), 2.23 – 2.8 (m, 3 CH ₂), 4.1 (q, CH ₂)	125/0.3 (153 – 154/4 ¹⁵)
C ₇ H ₁₁ NO (125,2)	Ber. Gef.	67.17 66.95	8.86 9.05	(kap.) 1705	(CDCl ₃) 0.97 (t, CH ₃), 1.4 – 2.0 (m, CH ₂), 2.3 – 3.0 (m, 3 CH ₂)	117/10
C ₈ H ₁₃ NO (139,2)	Ber. Gef.	69.03 68.95	9.41 9.65	(kap.) 1710 2240 (C ≡ N)	(CDCl ₃) 0.7 – 1.8 (m, 2 CH ₂ , CH ₃), 2.3 – 3.0 (m, 3 CH ₂)	124/8
C ₇ H ₁₁ NO (125,2)	Ber. Gef.	69.03 68.95	10.07 10.38	(kap.) 1710	(CDCl ₃) 0.8 – 2.0 (m, 3 CH ₂ , CH ₃), 2.3 – 3.0 (m, 3 CH ₂)	90/0.25
C ₁₂ H ₂₁ NO (195,3)	Ber. Gef.	73.80 73.75	10.84 10.92	(kap.) 1700 2230 (C ≡ N)	(CDCl ₃) 0.7 – 1.8 (m, 4 CH ₂ , CH ₃), 2.25 – 2.9 (m, 3 CH ₂)	82/0.02
C ₁₃ H ₂₃ NO (209,3)	Ber. Gef.	74.59 74.59	11.07 11.21	(kap.) 1705 2230 (C ≡ N)	(CDCl ₃) 0.8 – 1.8 (m, 5 CH ₂ , CH ₃), 2.3 – 2.9 (m, 3 CH ₂)	105/0.05
C ₈ H ₁₃ NO (139,2)	Ber. Gef.	69.03 69.15	9.41 9.35	(kap.) 1705 2240 (C ≡ N)	(CDCl ₃) 0.8 – 1.8 (m, 6 CH ₂ , CH ₃), 2.3 – 2.9 (m, 3 CH ₂)	111/0.1
C ₁₂ H ₂₁ NO (195,3)	Ber. Gef.	74.79 74.79	6.69 6.74	7.17 2240 (C ≡ N)	(CDCl ₃) 0.8 – 2.0 (m, 7 CH ₂ , CH ₃), 2.3 – 2.9 (m, 3 CH ₂)	117/0.09
C ₈ H ₁₃ NO (139,2)	Ber. Gef.	69.03 69.15	10.07 10.00	(kap.) 1705 2240 (C ≡ N)	(CDCl ₃) 0.93 (d, 2 CH ₃), 1.75 – 2.9 (m, CH, 3 CH ₂)	125/10 (134/8 ¹⁶)

liert. Ausb. 9.3 g (83%) α -Methylen- γ -valerolacton, Sdp. 50°C/0.6 Torr. – IR, NMR wurden mit Lit.⁹⁾ verglichen.

Darstellung der γ -Ketocarbonsäureester 1–24 und γ -Ketonitrile 25–32

Allgemeine Darstellung 1: Unter Überleiten eines schwachen Stickstoffstromes wird zu den in Tab. 1 genannten Mengen Katalysator, Fumarsäure-diethylester und Triethylamin in 70 ml absol. Dioxan unter Röhren bei 90°C während 7 h die Lösung des Aldehyds in 80 ml absol. Dioxan getropft (KOH-Trockenrohr). Nach 3 und 6 h wird jeweils eine Spatelspitze Katalysator zugesetzt. Nach insgesamt 24 h wird das Lösungsmittel abdestilliert und der Rückstand, wie unten beschrieben, aufgearbeitet.

Allgemeine Darstellung 2: Die Lösung der in Tab. 1 angegebenen Mengen Aldehyd, α, β -ungesättigte Verbindung, Katalysator und Triethylamin in 200 ml Ethanol wird 15 h unter Röhren im Stickstoffstrom auf 80°C erhitzt (KOH-Trockenrohr). Anschließend wird abgekühlt, im Wasserstrahlvakuum eingeengt und der Rückstand nach einer der unten angegebenen Methoden aufgearbeitet.

Allgemeine Darstellung 3: In die Suspension der in Tab. 1 angegebenen Mengen Triethylamin, Katalysator und α, β -ungesättigte Verbindung (1/2 Menge) in 100 ml Dioxan wird bei 80°C unter Röhren in 6 h eine Lösung aus der angegebenen Menge Aldehyd und der 1/2 Menge der α, β -ungesättigten Verbindung in 50 ml Dioxan getropft (KOH-Trockenrohr). Anschließend wird 12 h bei derselben Temp. gerührt, danach das Lösungsmittel abdestilliert und der Rückstand nach einer der unten angegebenen Methoden aufgearbeitet.

Allgemeine Aufarbeitung: Die Lösung des Rückstandes in Chloroform wird je einmal mit schwach schwefelsaurem Wasser, Natriumhydrogencarbonatlösung sowie Wasser gewaschen. Die wäßrigen Phasen werden jeweils mit Chloroform nachextrahiert, die vereinigten organischen Phasen über Magnesiumsulfat getrocknet, eingeengt und der Rückstand wie folgt behandelt:

a) Vakuumdestillation.

b) Versetzen mit 30 ml Methanol und langsames Abkühlen auf etwa –40°C. Das ausgefallene Acyloin wird in der Kälte abgesaugt und mit wenig Methanol von –70°C gewaschen. Das Filtrat wird vom Lösungsmittel befreit und anschließend fraktioniert destilliert.

c) Umkristallisieren aus n-Pentan.

Literatur

- 1) XXI. Mittel.: H. Stetter und A. Landscheidt, Chem. Ber. **112**, 2419 (1979).
- 2) H. Stetter und H. Kuhlmann, Synthesis **1975**, 379.
- 3) H. Stetter und H. Kuhlmann, Chem. Ber. **109**, 2890 (1976).
- 4) T. M. Patrick jr., J. Org. Chem. **17**, 1009 (1952).
- 5) P. A. Grieco, Synthesis **1975**, 70.
- 6) Verwendet wurde 5-(2-Hydroxyethyl)-4-methylthiazol der Firma Merck AG, Darmstadt.
- 7) S. Fliszar, R. F. Hudson und G. Salvadori, Helv. Chim. Acta **46**, 1580 (1963).
- 8) G. A. Howie, P. E. Manni und J. M. Cassady, J. Med. Chem. **17**, 840 (1974).
- 9) J. Haslouin und F. Rouessac, Tetrahedron Lett. **1976**, 4651.
- 10) E. Friedmann, J. Prakt. Chem. **146**, 160 (1936).
- 11) 11a) A. Frank und A. Kroupa, Monatsh. Chem. **69**, 162 (1936). – 11b) T. M. Patrick jr. und F. B. Erickson, Org. Synth., Coll. Vol. IV, 432 (1963).
- 12) N. Green und F. B. La Forge, J. Am. Chem. Soc. **70**, 2288 (1948).
- 13) I. F. Bel'skii, N. I. Shuikin, V. M. Shostakorskii, S. N. Khar'kov, Zh. Obshch. Khim. **32**, 1030 (1962) [Chem. Abstr. **58**, 2365b (1963)].
- 14) I. Ernest und H. Jelinkova, Collect. Czech. Chem. Commun. **24**, 3341 (1959).
- 15) A. A. Ponomarev und V. A. Sedakina, Zh. Obshch. Khim. **32**, 2540 (1962) [Chem. Abstr. **58**, 9066h (1963)].
- 16) I. N. Nasarow und M. V. Kuwarsina, Izv. Akad. Nauk SSSR, Otd. Khim. Nauk **1949**, (No. 1) 229 [Chem. Abstr. **43**, 6625a (1949)].